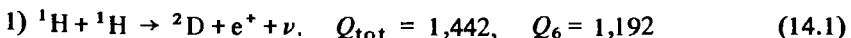


§ 14. Горение водорода, дейтерия и гелия

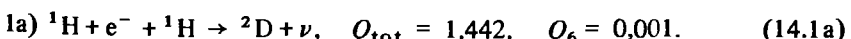
Стадия горения водорода является самой длительной в жизни звезды. Это связано с большим начальным обилием водорода в звездах ($\sim 70\%$ по массе) и большой калорийностью водорода при превращении его в гелий ($\sim 0,7\% mc^2$), когда выделяется $\sim 70\%$ энергии, получаемой при превращении водорода в самый стабильный элемент ^{36}Fe . Фотонная светимость звезд на главной последовательности, где горит водород, как правило, меньше, чем на последующих стадиях эволюции, а их нейтринная светимость значительно меньше, ввиду того, что центральные температуры не превышают $\sim 4 \cdot 10^7$ К. Поэтому звезды главной последовательности являются самыми распространенными звездами в Галактике и во всей вселенной (см. гл. 9).

Выделение энергии на грамм при горении гелия примерно на порядок меньше, чем при горении водорода, а светимость таких звезд значительно выше. Вследствие этого время жизни и число их в Галактике значительно меньше, чем звезд главной последовательности. Тем не менее благодаря большой светимости таких звезд, которые являются гигантами и сверхгигантами, свойства их хорошо изучены. Помимо медленного горения, в звездах возможно развитие тепловых вспышек, когда происходит быстрое, так называемое взрывное горение при больших температурах $T_9 \sim 1$. Это может происходить на поздних стадиях эволюции, а также в веществе, аккрецирующем на белые карлики и нейтронные звезды.

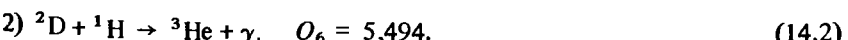
а) Протон-протонная реакция и горение дейтерия. Горение водорода с образованием гелия требует превращения двух протонов в два нейтрона путем захвата электронов или испускания позитронов, с одновременным излучением нейтрино. Такие превращения происходят по реакциям слабого взаимодействия, которые (см. гл. 5) идут значительно медленнее ядерных реакций, связанных с сильным взаимодействием. Слияние двух протонов с образованием дейтерия является первой реакцией протон-протонного цикла, действующего в звездах с массой $M \leq M_\odot$, где центральные температуры не превышают $\sim 1,5 \cdot 10^7$ К. Рассмотрим цепочки pp-цикла. Сначала идут реакции [361, 359, 134]



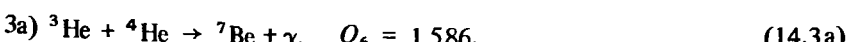
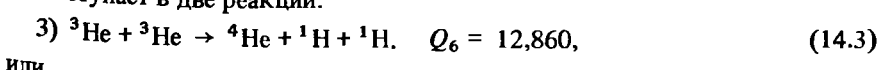
или



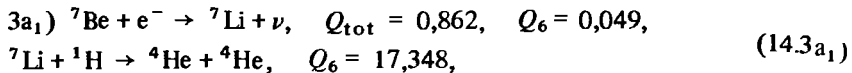
На Солнце и в более массивных звездах реакция 1) гораздо вероятнее, чем 1a). Дейтерий горит в реакции



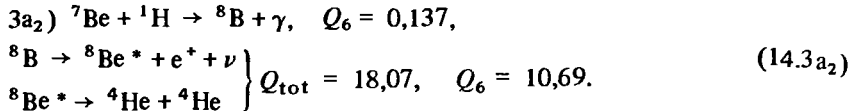
^3He вступает в две реакции:



Превращение ${}^7\text{Be}$ в ${}^4\text{He}$ происходит двумя способами:



или



Здесь Q_{tot} – полная энергия на реакцию (в МэВ), Q_6 – то же за вычетом энергии улетающего нейтрино. Полное энерговыделение в МэВ при образовании одного ядра гелия для различных цепочек составляет

$$Q_{\text{pp}} = \left\{ \begin{array}{ll} 26,23 & (1 + 2 + 3), \\ 23,85 & (1\text{a} + 2 + 3) \\ 25,67 & (1 + 2 + 3\text{a} + 3\text{a}_1), \\ 24,48 & (1\text{a} + 2 + 3\text{a} + 3\text{a}_1) \\ 19,1 & (1 + 2 + 3\text{a} + 3\text{a}_2), \\ 17,91 & (1\text{a} + 2 + 3\text{a} + 3\text{a}_2). \end{array} \right. \quad (14.4)$$

Соотношения между различными каналами зависят от физических условий в звездах. На Солнце основной является реакция $(1 + 2 + 3)$ и $Q_{\text{pp}} = 26,2$ МэВ. Скорость pp-реакции определяется самым медленным звеном (14.1) и пропорциональна (см. (13.4)) величине [389]

$$N_A \langle {}^1\text{H p} \rangle = 3,82 \cdot 10^{-15} T_9^{-2/3} \exp(-3,380/T_9^{1/3}) \times \\ \times (1 + 0,123 T_9^{1/3} + 1,09 T_9^{2/3} + 0,938 T_9) \text{ (см}^3 \cdot \text{с}^{-1} \cdot \text{г}^{-1}). \quad (14.5)$$

Скорость энерговыделения для $(1 + 2 + 3)$, согласно (13.16) равна

$$\epsilon_{\text{pp}} = 9,6487 \cdot 10^{17} \frac{x_{\text{H}}^2}{2} \rho N_A \langle {}^1\text{H p} \rangle \frac{Q_{\text{pp}}}{2} = \\ = 6,32 \cdot 10^{18} \left(\frac{Q_{\text{pp}}}{26,2} \right) x_{\text{H}}^2 \rho N_A \langle {}^1\text{H p} \rangle \text{ (эр} \cdot \text{г}^{-1} \cdot \text{с}^{-1}). \quad (14.6)$$

В молодых звездах, не достигших главной последовательности, где температура недостаточна для горения водорода, может идти реакция горениядейтерия или ${}^3\text{He}$. Скорость и энерговыделение реакции (14.2) равны [389]

$$N_A \langle {}^2\text{D p} \rangle = 2,24 \cdot 10^3 T_9^{-2/3} \exp(-3,72/T_9^{1/3}) \times \\ \times (1 + 0,112 T_9^{1/3} + 3,38 T_9^{2/3} + 2,65 T_9) \text{ (см}^3 \cdot \text{с}^{-1} \cdot \text{г}^{-1}), \quad (14.7)$$

$$\epsilon_{{}^2\text{D p}} = 9,6487 \cdot 10^{17} \frac{x_{{}^2\text{D}} x_{\text{H}}}{2} \rho N_A \langle {}^2\text{D p} \rangle Q_6 = \\ = 2,65 \cdot 10^{18} x_{{}^2\text{D}} x_{\text{H}} \rho N_A \langle {}^2\text{D p} \rangle \text{ (эр} \cdot \text{г}^{-1} \cdot \text{с}^{-1}). \quad (14.8)$$

Аналогично для реакции (14.3) имеем [361]

$$N_A \langle {}^3\text{He} {}^3\text{He} \rangle = 5,96 \cdot 10^{10} T_9^{-2/3} \exp(-12,276/T_9^{1/3}) \times \\ \times (1 + 0,034 T_9^{1/3} - 0,199 T_9^{2/3} - 0,047 T_9 + 0,032 T_9^{4/3} + \\ + 0,019 T_9^{5/3}) (\text{см}^3 \cdot \text{с}^{-1} \cdot \text{г}^{-1}), \quad (14.9)$$

$$\epsilon_{\text{He} {}^3\text{He}} = 9,6487 \cdot 10^{17} \frac{x_{^3\text{He}}^2}{18} \rho N_A \langle {}^3\text{He} {}^3\text{He} \rangle Q_6 = \\ = 6,893 \cdot 10^{17} x_{^3\text{He}}^2 \rho N_A \langle {}^3\text{He} {}^3\text{He} \rangle (\text{эр} \cdot \text{г}^{-1} \cdot \text{с}^{-1}). \quad (14.10)$$

Для учета горения ${}^2\text{D}$ и ${}^3\text{He}$ при расчете эволюции звезд, идущих к главной последовательности, нужно рассматривать все три реакции (14.5)–(14.10), причем в (14.6) положить $Q_6 = 1,192$ вместо $Q_{\text{pp}}/2$. Когда вблизи главной последовательности концентрации ${}^2\text{D}$ и ${}^3\text{He}$ достигнут малых стационарных значений, скорость энерговыделения будет определяться формулами (14.5), (14.6).

6) Углеродный и другие циклы горения водорода. При наличии ${}^{12}\text{C}$ и более тяжелых элементов и при достаточно высокой температуре водород превращается в гелий по различным цепочкам реакций, в которых тяжелые элементы играют роль катализаторов. Самый низкотемпературный CN цикл имеет вид [229, 361, 389, 259, 182]:

- 1) ${}^{12}\text{C} + {}^1\text{H} \rightarrow {}^{13}\text{N} + \gamma, \quad Q_6 = 1,944 (\sim 10^6 \text{ лет}),$
- 2) ${}^{13}\text{N} \rightarrow {}^{13}\text{C} + e^+ + \nu, \quad Q_{\text{tot}} = 2,22, \quad Q_6 = 1,51 (\tau_{1/2} = 10 \text{ мин}),$
- 3) ${}^{13}\text{C} + {}^1\text{H} \rightarrow {}^{14}\text{N} + \gamma, \quad Q_6 = 7,551 (\sim 3 \cdot 10^6 \text{ лет}),$
- 4) ${}^{14}\text{N} + {}^1\text{H} \rightarrow {}^{15}\text{O} + \gamma, \quad Q_6 = 7,298 (\sim 3 \cdot 10^8 \text{ лет}),$
- 5) ${}^{15}\text{O} \rightarrow {}^{15}\text{N} + e^+ + \nu, \quad Q_{\text{tot}} = 2,76, \quad Q_6 = 1,76 (\tau_{1/2} = 12,4 \text{ с}),$
- 6) ${}^{15}\text{N} + {}^1\text{H} \rightarrow {}^{12}\text{C} + {}^4\text{He}, \quad Q_6 = 4,966 (\sim 10^5 \text{ лет}).$

В скобках приведены периоды полураспада $\tau_{1/2}$ и характерные времена реакций для Солнца [229]. По подсчетам [361] энерговыделение в углеродном цикле за вычетом энергии нейтрино при образовании одного ядра гелия равно

$$Q_{\text{CN}} = 24,97 \text{ МэВ}. \quad (14.12)$$

Скорость реакции на Солнце определяется самой медленной реакцией цепочки 4) из (14.11); она равна [361]

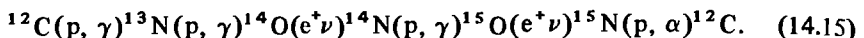
$$N_A \langle {}^{14}\text{N p} \rangle = \left\{ 5,08 \cdot 10^7 T_9^{-2/3} \exp \left[-\frac{15,228}{T_9^{1/3}} - \left(\frac{T_9}{3,090} \right)^2 \right] \times \right. \\ \times (1 + 0,027 T_9^{1/3} - 0,778 T_9^{2/3} - 0,149 T_9 + 0,261 T_9^{4/3} + \\ + 0,127 T_9^{5/3}) + 2,28 \cdot 10^3 T_9^{-3/2} \exp(-3,011/T_9) + \\ \left. + 1,65 \cdot 10^4 T_9^{1/3} \exp(-12,007/T_9) \right\} \text{см}^3 \cdot \text{с}^{-1} \cdot \text{г}^{-1}. \quad (14.13)$$

Скорость энерговыделения есть

$$\epsilon_{\text{CN}} = 4,302 \cdot 10^{17} x_{^{14}\text{N}} x_{^1\text{H}} \rho N_A \langle {}^{14}\text{N p} \rangle \text{ эрг} \cdot \text{г}^{-1} \cdot \text{с}^{-1}. \quad (14.14)$$

Здесь использовано Q_6 из (14.12). Реакции CN-цикла преобладают над pp-циклом примерно для звезд, массивнее Солнца. С ростом температуры преодолевается более высокий кулоновский барьер и реализуется преимущество этой реакции, связанное с тем, что реакции бета-распада 2) и 5) в (14.11) идут здесь гораздо быстрее, чем pp-реакция (14.1). По мере протекания реакций CN-цикла происходит превращение почти всего углерода в азот, ввиду медленности реакции 4) из (14.11).

При температуре $T \geq 2 \cdot 10^8$ К реакция 4), а также 1), 3), 6) из (14.11) становятся быстрее реакции бета-распада 2), которая начинает лимитировать скорость цикла. В этом случае захват протона ядром ^{13}N приводит к другому циклу, называемому горячим CNO-циклом.



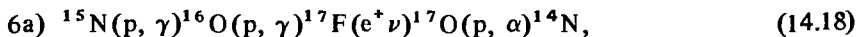
Здесь использована более компактная запись реакций, принятая в ядерной физике. Время полураспада ^{14}O в этом цикле равно 72 с [232] и медленная реакция 2) из (14.11) перестает лимитировать весь цикл. Скорость реакции $^{13}\text{N}(\text{p}, \gamma)^{14}\text{O}$ рассчитана в [481]:

$$\begin{aligned} N_A \langle ^{13}\text{Np} \rangle = & \left\{ 3,35 \cdot 10^7 T_9^{-2/3} \exp[-15,202/T_9^{1/3}] - \right. \\ & - (T_9/1,072)^2] \times (1 + 0,027 T_9^{1/3} + 0,90 T_9^{2/3} + \\ & + 0,173 T_9 + 4,61 T_9^{4/3} + 2,26 T_9^{5/3}) + \\ & \left. + (3,03 \cdot 0^5 / T_9^{2/3}) \exp\left(-\frac{6,348}{T_9}\right) \right\} \text{см}^3 \cdot \text{с}^{-1} \cdot \text{г}^{-1}. \end{aligned} \quad (14.16)$$

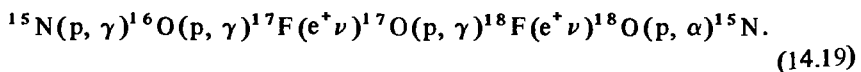
В этой реакции выделяется энергия $Q_6 = 4,626$ МэВ и энерговыделение на грамм есть

$$\epsilon_{^{13}\text{Np}} = 3,433 \cdot 10^{17} x_{^{13}\text{N}} x_{\text{H}} \rho N_A \langle ^{13}\text{Np} \rangle (\text{эрг} \cdot \text{г}^{-1} \cdot \text{с}^{-1}). \quad (14.17)$$

Наряду с реакцией 6) из (14.11) ядро ^{15}N может вступить в реакцию $^{15}\text{N}(\text{p}, \gamma)^{16}\text{O}$. Воспроизведение ^{16}O приводит к появлению новой цепочки. Наряду с 6) идет звено реакций



после которого следует реакция 4) из (14.11), а также новый цикл



При высоких температурах, наряду с 5) в (14.11) проходит звено реакций [462]

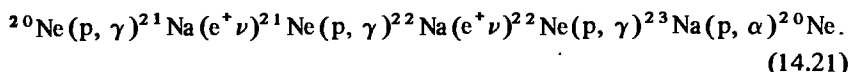


Таблица 13

Значения $N_A \langle \sigma v \rangle$, $\text{см}^3 \cdot \text{с}^{-1} \cdot \text{г}^{-1}$ и выделение тепла на реакцию Q_6 , МэВ для двух реакций захвата

$T (10^9 \text{ К})$	$N_A \langle {}^{15}\text{O} \alpha \rangle_\gamma$	$N_A \langle {}^{19}\text{Ne} p \rangle_\gamma$	$T (10^9 \text{ К})$	$N_A \langle {}^{15}\text{O} \alpha \rangle_\gamma$	$N_A \langle {}^{19}\text{Ne} p \rangle_\gamma$
0,1	5,02 (-25)	1,01 (-11)	1,5	3,57	31,82
0,16	-	3,47 (-9)	2,0	17,6	78,7
0,2	8,81 (-13)	3,40 (-8)	3,0	99,2	167,0
0,4	7,42 (-7)	1,64 (-4)	4,0	267	-
0,6	1,80 (-4)	4,82 (-2)	5,0	573	-
0,8	1,01 (-2)	0,814	10,0	2,36 (+3)	-
1,0	0,129	4,16			
Q_6	3,53	2,19	Q_6	3,53	2,19

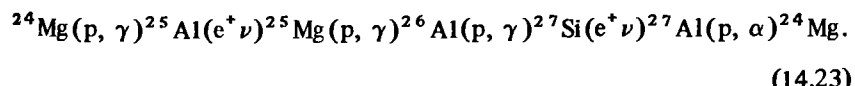
Благодаря производству ${}^{20}\text{Ne}$ появляется катализатор для протекания NeNa-цикла [608]



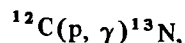
Протекание реакции производства ${}^{24}\text{Mg}$ (наряду с последней реакцией (14.21))



приводит к появлению еще более высокотемпературного MgAl-цикла горения водорода [361, 389]:



При $T \geq 2 \cdot 10^8 \text{ К}$, когда время реакции 4) перестает лимитировать горение, требуется учет каждой реакции в отдельности из (14.11), а также из (14.15)–(14.23) для определения концентраций элементов и скорости выделения энергии. Для реакций α и p захвата из (14.20) скорости рассчитаны в [462]. Так как формулы типа (13.27) и (13.37) здесь весьма громоздки из-за наличия большого числа резонансов, приведем табл. 13 из [462], где приведены значения $N_A \langle \sigma v \rangle$ как функции температуры. Выделение тепла в этих реакциях получено по данным [135]. Для реакций (p, γ) из (14.11) имеем [361]



$$Q_6 = 1,944,$$

$$N_A \langle {}^{12}\text{C} p \rangle = \left\{ 2,04 \cdot 10^7 T_9^{-2/3} \exp \left[-\frac{13,690}{T_9^{1/3}} - \left(\frac{T_9}{1,500} \right)^2 \right] \times \right. \\ \left. \times (1 + 0,03 T_9^{1/3} + 1,19 T_9^{2/3} + 0,254 T_9 + 2,06 T_9^{4/3} + \right. \\ \left. + 1,12 T_9^{5/3}) + 1,08 \cdot 10^5 T_9^{-3/2} \exp \left(-\frac{4,925}{T_9} \right) + \right. \\ \left. + 2,15 \cdot 10^5 T_9^{-3/2} \exp \left(-\frac{18,179}{T_9} \right) \right\} \text{см}^3 \cdot \text{с}^{-1} \cdot \text{г}^{-1}, \quad (14.24)$$

$$\epsilon_{1,2} \text{Cp} = 1,563 \cdot 10^{17} x_{1,2} \text{C} x_{\text{H}} \rho N_A \langle {}^{12}\text{C} p \rangle \text{ (эр} \text{г} \cdot \text{г}^{-1} \cdot \text{с}^{-1}),$$

$${}^{13}\text{C}(p, \gamma){}^{14}\text{N}, \quad Q_6 = 7,551,$$

$$N_A \langle {}^{13}\text{C} p \rangle = \left\{ 8,01 \cdot 10^7 T_9^{-2/3} \exp \left[-\frac{13,717}{T_9^{1/3}} - \left(\frac{T_9}{2,0} \right)^2 \right] \times \right. \\ \left. \times (1 + 0,03 T_9^{1/3} + 0,958 T_9^{2/3} + 0,204 T_9 + 1,39 T_9^{4/3} + \right. \\ \left. + 0,753 T_9^{5/3}) + 1,35 \cdot 10^6 T_9^{-3/2} \exp (-5,978/T_9) + \right. \\ \left. + 2,66 \cdot 10^5 T_9^{-3/2} \exp (-11,987/T_9) + \right. \\ \left. + 2,26 \cdot 10^6 T_9^{-3/2} \exp (-13,463/T_9) \right\} \text{см}^3 \cdot \text{г}^{-1} \cdot \text{с}^{-1}, \quad (14.25)$$

$$\epsilon_{1,3} \text{Cp} = 5,604 \cdot 10^{17} x_{1,3} \text{C} x_{\text{H}} \rho N_A \langle {}^{13}\text{C} p \rangle \text{ (эр} \text{г} \cdot \text{с}^{-1} \cdot \text{г}^{-1}).$$

Значение $N_A \langle 01 \rangle$ для реакции ${}^{14}\text{N}(p, \gamma){}^{15}\text{O}$ дано в (14.13), а $\epsilon_{1,4} \text{Np}$ получается из ϵ_{CN} в (14.14) с коэффициентом $5,030 \cdot 10^{17}$ вместо $4,302 \cdot 10^{17}$. Имеем также

$${}^{15}\text{N}(p, \alpha){}^{12}\text{C}, \quad Q_6 = 4,966$$

$$N_A \langle {}^{15}\text{N} p \rangle_\alpha = 8,16 \cdot 10^{11} T_9^{-2/3} \exp \left[-\frac{15,25}{T_9^{1/3}} - \left(\frac{T_9}{0,522} \right)^2 \right] \times \\ \times (1 + 0,027 T_9^{1/3} + 6,74 T_9^{2/3} + 1,29 T_9) + \\ + 1,29 \cdot 10^8 T_9^{-3/2} \exp \left(-\frac{3,676}{T_9} \right) + \\ + 3,14 \cdot 10^8 \exp \left(-\frac{7,974}{T_9} \right) (\text{см}^3 \cdot \text{с}^{-1} \cdot \text{г}^{-1}), \quad (14.26)$$

$$\epsilon_{1,5} \text{Np}_\alpha = 3,194 \cdot 10^{17} x_{1,5} \text{N} x_{\text{H}} \rho N_A \langle {}^{15}\text{N} p \rangle_\alpha \text{ (эр} \text{г} \cdot \text{г}^{-1} \cdot \text{с}^{-1}).$$

Для реакций из (14.18), (14.19) имеем [361]

$$^{15}\text{N}(\text{p}, \gamma)^{16}\text{O}, \quad Q_6 = 12,128,$$

$$N_A \langle ^{15}\text{Np} \rangle_\gamma = \left\{ 9,78 \cdot 10^8 T_9^{-2/3} \exp \left[-\frac{15,25}{T_9^{1/3}} - \left(\frac{T_9}{0,45} \right)^2 \right] \times \right.$$

$$\times (1 + 0,027 T_9^{1/3} + 0,219 T_9^{2/3} + 0,042 T_9 + 6,83 T_9^{4/3} +$$

$$+ 3,32 T_9^{5/3}) + 1,11 \cdot 10^4 T_9^{-3/2} \exp \left(-\frac{3,328}{T_9} \right) +$$

$$\left. + 1,49 \cdot 10^4 T_9^{-3/2} \exp \left(-\frac{4,665}{T_9} \right) + 3,80 \cdot 10^6 T_9^{-3/2} \exp \left(-\frac{11,048}{T_9} \right) \right\} \text{cm}^3 \cdot \text{c}^{-1} \cdot \text{r}^{-1}, \quad (14.27)$$

$$\epsilon_{^{15}\text{Np}_\gamma} = 7,801 \cdot 10^{17} x_{^{15}\text{N}} x_{\text{H}} \rho N_A \langle ^{15}\text{Np} \rangle_\gamma \text{ (эр} \cdot \text{р}^{-1} \cdot \text{с}^{-1});$$

$$^{16}\text{O}(\text{p}, \gamma)^{17}\text{F}, \quad Q_6 = 0,601,$$

$$N_A \langle ^{16}\text{Op} \rangle = 1,5 \cdot 10^8 T_9^{-2/3} \{ 1 + 2,13 [1 -$$

$$- \exp(-0,728 T_9^{2/3})] \}^{-1} \exp \left(-\frac{16,692}{T_9^{1/3}} \right) (\text{cm}^3 \cdot \text{c}^{-1} \cdot \text{r}^{-1}), \quad (14.28)$$

$$\epsilon_{^{16}\text{Op}} = 3,624 \cdot 10^{16} x_{^{16}\text{O}} x_{\text{H}} \rho N_A \langle ^{16}\text{Op} \rangle \text{ (эр} \cdot \text{р}^{-1} \cdot \text{с}^{-1});$$

$$^{17}\text{O}(\text{p}, \alpha)^{14}\text{N}, \quad Q_6 = 1,193,$$

$$N_A \langle ^{17}\text{Op} \rangle_\alpha = \left\{ 1,53 \cdot 10^7 T_9^{-2/3} \exp \left[-\frac{16,712}{T_9^{1/3}} - \left(\frac{T_9}{0,565} \right)^2 \right] \times \right.$$

$$\times (1 + 0,025 T_9^{1/3} + 5,39 T_9^{2/3} + 0,940 T_9 + 13,5 T_9^{4/3} +$$

$$+ 5,98 T_9^{5/3}) + 2,92 \cdot 10^6 T_9 \exp \left(-\frac{4,247}{T_9} \right) \left. \right\} \text{cm}^3 \cdot \text{c}^{-1} \cdot \text{r}^{-1}, \quad (14.29)$$

$$\epsilon_{^{17}\text{Op}_\alpha} = 6,771 \cdot 10^{16} x_{^{17}\text{O}} x_{\text{H}} \rho N_A \langle ^{17}\text{Op} \rangle_\alpha \text{ (эр} \cdot \text{р}^{-1} \cdot \text{с}^{-1});$$

$$^{17}\text{O}(\text{p}, \gamma)^{18}\text{F}, \quad Q_6 = 5,609,$$

$$N_A \langle ^{17}\text{Op} \rangle_\gamma = \left\{ 7,97 \cdot 10^7 T_{9A}^{5/6} T_9^{-3/2} \exp \left(-\frac{16,712}{T_{9A}^{1/3}} \right) + \right.$$

$$+ 1,51 \cdot 10^8 T_9^{-2/3} \exp \left(-\frac{16,712}{T_9^{1/3}} \right) \times (1 + 0,025 T_9^{1/3} -$$

$$-0,051 T_9^{2/3} - 8,82 \cdot 10^{-3} T_9) + 1,56 \cdot 10^5 T_9^{-1} \times \\ \times \exp\left(-\frac{6,272}{T_9}\right) \} (\text{см}^3 \cdot \text{с}^{-1} \cdot \text{г}^{-1}), \quad (14.30)$$

$$T_{9A} = T_9(1 + 2,69 T_9)^{-1},$$

$$\epsilon_{1, \gamma} \text{Op}_\gamma = 3,184 \cdot 10^{17} x_{1, \gamma} x_H \rho N_A \langle {}^{18}\text{O} p \rangle_\gamma \quad (\text{эрг} \cdot \text{г}^{-1} \cdot \text{с}^{-1});$$

$${}^{18}\text{O}(p, \alpha) {}^{15}\text{N}, \quad Q_6 = 3,980,$$

$$N_A \langle {}^{18}\text{O} p \rangle_\alpha = \left\{ 2,13 \cdot 10^{11} T_9^{-2/3} \exp\left[-\frac{16,729}{T_9^{1/3}} - \left(\frac{T_9}{1,318}\right)^2\right] \times (1 + 0,025 T_9^{1/3} + 1,68 T_9^{2/3} + 0,292 T_9 + 1,86 T_9^{4/3} + 0,824 T_9^{5/3}) + 9,64 \cdot 10^8 T_9^{-1} \exp\left(-\frac{7,361}{T_9}\right) + 1,99 \cdot 10^{13} T_9^{-2/3} \exp\left[-\frac{16,729}{T_9^{1/3}} - \left(\frac{T_9}{0,138}\right)^2\right] \times (1 + 0,025 T_9^{1/3} + 5,98 T_9^{2/3} + 1,04 T_9 + 30,7 T_9^{4/3} + 13,61 T_9^{5/3}) + 1,4 \cdot 10^6 T_9^{-3/2} \exp\left(-\frac{1,662}{T_9}\right) + 2,34 \cdot 10^6 T_9^{-3/2} \exp\left(-\frac{2,915}{T_9}\right) \right\} \times [1 + 5 \exp(-23,002/T_9)]^{-1} \quad (\text{см}^3 \cdot \text{с}^{-1} \cdot \text{г}^{-1}), \quad (14.31)$$

$$\epsilon_{1, \alpha} \text{Op}_\alpha = 2,133 \cdot 10^{17} x_{1, \alpha} x_H \rho N_A \langle {}^{18}\text{O} p \rangle_\alpha \quad (\text{эрг} \cdot \text{г}^{-1} \cdot \text{с}^{-1}).$$

Приведенные выше формулы для (p, γ) и (p, α) реакций справедливы при $10^{-3} < T_9 < 10$ и при плотностях, при которых пренебрежимо мало электронное экранирование (см. § 17). Неопределенные члены в реакциях (14.29)–(14.31), которые в [361] даны сомножителем (от 0 до 1), везде опущены. Величины $N_A \langle 01 \rangle$ для реакций (p, γ) и (p, α) из (14.21)–(14.23), а также (α, γ) запишем в виде

$$N_A \langle 01 \rangle = T_9^{-2/3} \exp\left[A - \left(\frac{TAU}{T_9^{1/3}}\right) \times \left(1 + BT_9 + CT_9^2 + DT_9^3\right)\right] \quad (\text{см}^3 \cdot \text{с}^{-1} \cdot \text{г}^{-1}). \quad (14.32)$$

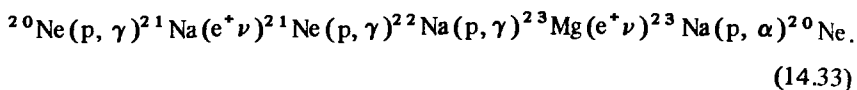
Таблица 14

Параметры (p, γ) , (p, α) реакций для формулы (14.32), Q_6 – энергия на реакцию в МэВ, $T_{\text{обл}}$ – пределы применимости

Реакция	$T\Lambda U$	A	B	C	D	Q_6	$T_{\text{обл}}$
$^{20}\text{Ne} (p, \gamma)^{21}\text{Na}$	19,45 18,57	30,94 28,01	8,097(-2) 2,428(-1)	6,555(-1) -2,336(-2)	-4,272(-1) 1,026(-3)	2,431 2,431	$0 < T_g < 1$ $1 < T_g < 10$
$^{21}\text{Ne} (p, \gamma)^{22}\text{Na}$	19,46	31,61	2,391(-1)	-1,850(-2)	6,622(-4)	6,740	$0 < T_g < 10$
$^{22}\text{Ne} (p, \gamma)^{23}\text{Na}$	19,48	31,41	1,802(-1)	-1,303(-2)	4,839(-4)	8,793	$0 < T_g < 10$
$^{23}\text{Na} (p, \alpha)^{20}\text{Ne}$	20,77	30,63	1,585(-2)	1,235(-3)	-1,294(-4)	2,376	$0 < T_g < 10$
$^{23}\text{Na} (p, \gamma)^{24}\text{Mg}$	20,77 22,02	29,97 34,04	-6,586(-2) 2,417(-1)	2,804(-1) -2,162(-2)	-1,131(-1) 9,298(-4)	11,692 11,692	$0 < T_g < 1$ $1 < T_g < 10$
$^{24}\text{Mg} (p, \gamma)^{25}\text{Al}$	22,02 21,93	31,54 32,58	-3,333(-2) 3,017(-1)	6,356(-1) -3,410(-2)	-3,758(-1) 1,671(-3)	2,270 2,270	$0 < T_g < 1$ $1 < T_g < 10$
$^{25}\text{Mg} (p, \gamma)^{26}\text{Al}$	22,04 23,28	31,32 35,59	-8,358(-2) 2,598(-1)	3,614(-1) -2,450(-2)	-1,620(-1) 1,097(-3)	6,307 6,307	$0 < T_g < 1$ $1 < T_g < 10$
$^{26}\text{Al} (p, \gamma)^{27}\text{Si}$	23,26 24,17	31,81 35,29	-7,207(-2) 2,528(-1)	4,040(-1) -2,510(-2)	-1,990(-1) 1,161(-3)	7,465 7,465	$0 < T_g < 1$ $1 < T_g < 10$
$^{27}\text{Al} (p, \alpha)^{24}\text{Mg}$	23,27 25,02	28,41 34,08	-2,716(-1) 1,158(-1)	3,533(-1) -1,657(-2)	-1,410(-1) 8,537(-4)	1,600 1,600	$0 < T_g < 1$ $1 < T_g < 10$

Численные коэффициенты из [638] приведены в табл. 14. Параметры ($e^+ \nu$) распадов: времена полураспадов из [232], полные энергии распадов Q_{tot} и средние энерговыделения на реакцию за вычетом энергии нейтрино в МэВ [135, 182] – даны в табл. 15.

Ввиду большого времени бета-распада ^{22}Na из (14.21), при высокой температуре быстрее может идти другое звено NeNa-цикла [215]



Скорость реакции $^{22}\text{Na}(p, \gamma)^{23}\text{Mg}$ рассчитана в [624]. Имеем

$$N_A \langle ^{22}\text{Na} p \rangle_\gamma = 6,55 T_9^{-3/2} \exp\left(-\frac{2,437}{T_9}\right) (\text{см}^3 \cdot \text{с}^{-1} \cdot \text{г}^{-1}),$$

$$Q_6 = 7,579, \quad 0 \leq T_9 \leq 1, \quad (14.34)$$

$$\epsilon_{^{22}\text{Na} p} = 3,324 \cdot 10^{17} x_{^{22}\text{Na}} x_H \rho N_A \langle ^{22}\text{Na} p \rangle \text{ (эр} \text{г} \cdot \text{г}^{-1} \cdot \text{с}^{-1}).$$

Изменение концентрации при наличии бета-распада равно

$$\frac{1}{x} \frac{dx}{dt} = - \frac{\ln 2}{\tau_{1/2}}. \quad (14.35)$$

Это уравнение, наряду с (13.6), нужно использовать для нахождения концентраций при протекании реакций. Если данный элемент появляется или исчезает в нескольких реакциях, то в правых частях (13.6) или (14.35) стоят

Таблица 15

Характеристики бета-распадных реакций в циклах горения водорода

Реакция	$\tau_{1/2}$	Q_{tot} (МэВ)	Q_e (МэВ)
$^{13}\text{N}(e^+ \nu)^{13}\text{C}$	10 мин	2,22	1,51
$^{14}\text{O}(e^+ \nu)^{14}\text{N}$	72 с	5,145	
$^{15}\text{O}(e^+ \nu)^{15}\text{N}$	124 с	2,76	1,76
$^{17}\text{F}(e^+ \nu)^{17}\text{O}$	70 с	2,76	1,82
$^{18}\text{F}(e^+ \nu)^{18}\text{O}$	110 мин	1,655	
$^{20}\text{Na}(e^+ \nu)^{20}\text{Ne}$	0,38 с	13,89	
$^{21}\text{Na}(e^+ \nu)^{21}\text{Ne}$	23 с	3,55	
$^{22}\text{Na}(e^+ \nu)^{22}\text{Ne}$	2,6 года	2,84	
$^{25}\text{Al}(e^+ \nu)^{25}\text{Mg}$	73 с	4,28	
$^{27}\text{Si}(e^+ \nu)^{27}\text{Al}$	4,1 с	4,81	
$^{23}\text{Mg}(e^+ \nu)^{23}\text{Na}$	12 с	4,06	

суммы по соответствующим реакциям. Скорость выделения тепла при β^+ -распаде ядер с атомным весом A_0 и весовой концентрацией x_0 равна

$$\epsilon_{\beta^+} = N_A \frac{x_0}{A_0} Q \frac{\ln 2}{\tau_{1/2}} = 6,6880 \cdot 10^{17} \frac{x_0}{A_0} \frac{Q_6}{\tau_{1/2}} \quad (\text{эрг} \cdot \text{г}^{-1} \cdot \text{с}^{-1}). \quad (14.36)$$

В бета-распадах величина $\ln 2/\tau_{1/2}$ является аналогом $(x_1/A_1)\rho N_A \langle 01 \rangle$ в ядерной реакции $\langle 01 \rangle$, см. (13.6) и (13.16).

Отметим, что наличие изотопов ^{13}C , ^{17}O , ^{21}Ne , ^{25}Mg в рассмотренных выше цепочках реакций, приводит к рождению нейтронов в (α, n) реакциях [361], что существенно для производства тяжелых элементов в s -процессах (см. § 16). При рассмотрении взрывного горения водорода необходимо учитывать много других (p, γ) и обратных к ним реакций, помимо рассмотренных выше, которые исследовались в работах [361, 389, 399, 638, 624].

б) Горение гелия. Наиболее важной для физики звезд реакцией горения гелия является 3α реакция образования ^{12}C . Она протекает благодаря тому, что при соединении двух альфа-частиц образуются неустойчивые ядра ^8Be . В равновесии концентрация ядер ^8Be определяется формулой, аналогичной (3.3):

$$n_{^8\text{Be}} = n_{^4\text{He}}^2 \frac{A_{^8\text{Be}}^{3/2}}{A_{^4\text{He}}^3} \frac{h^3}{(2\pi m_u k T)^{3/2}} e^{-\frac{Q}{kT}}, \quad (14.37)$$

$$Q = 92 \text{ кэВ.}$$

Реакция образования ^8Be является резонансной с $E_r = Q$. Соединение ядер ^8Be с альфа-частицами происходит также в виде резонансной реакции со скоростью, определяемой (13.4), (13.36). Для величины $N_A^2 \langle 012 \rangle$, характеризующей реакцию слияния трех частиц 0, 1, 2, получаем [389]

$$N_A^2 \langle \alpha\alpha\alpha \rangle = \left\{ 2,79 \cdot 10^{-8} T_9^{-3} \exp\left(-\frac{4,4027}{T_9}\right) + (0 \div 1) \times 1,35 \cdot 10^{-7} T_9^{-3/2} \exp\left(-\frac{24,811}{T_9}\right) \right\} (\text{см}^6 \cdot \text{г}^{-2} \cdot \text{с}^{-1}), \quad (14.38)$$

$$Q_6 = 7,275.$$

Количество реакций, протекающих в 1 с в 1 см³, P_{012} , среднее время жизни ядер гелия $\tau_{3\alpha}(^4\text{He})$ и энерговыделение $\epsilon_{\alpha\alpha\alpha}$ в 3α -реакции равны [360]

$$\begin{aligned} P_{012} &= \frac{n_0 n_1 n_2}{1 + \Delta_{012}} \langle 012 \rangle = \rho^3 N_A^3 \frac{x_0 x_1 x_2}{A_0 A_1 A_2} \frac{\langle 012 \rangle}{1 + \Delta_{012}} = \\ &= \frac{1}{384} \rho^3 N_A^3 x_{^4\text{He}}^3 \langle \alpha\alpha\alpha \rangle \quad (\text{реакций} \cdot \text{с}^{-1} \cdot \text{см}^{-3}), \end{aligned} \quad (14.39)$$

$$\Delta_{012} = \delta_{01} + \delta_{12} + \delta_{02} + 2\delta_{012};$$

$$\frac{1}{\tau_{3\alpha}({}^4\text{He})} = - \frac{1}{n_{{}^4\text{He}}} \frac{dn_{{}^4\text{He}}}{dt} = \frac{3 P_{3\alpha}}{n_{{}^4\text{He}}} = \frac{1}{2} n_{{}^4\text{He}}^2 \langle \alpha\alpha\alpha \rangle,$$

$$\begin{aligned}\epsilon_{\alpha\alpha\alpha} &= 9,6487 \cdot 10^{17} \frac{x_0 x_1 x_2}{A_0 A_1 A_2} \frac{\rho^2 N_A^2}{1 + \Delta_{012}} Q_6 \langle 012 \rangle = \\ &= \frac{9,6487 \cdot 10^{17}}{384} x_{{}^4\text{He}}^3 \rho^2 N_A^2 Q_6 \langle \alpha\alpha\alpha \rangle = \\ &= 1,828 \cdot 10^{16} x_{{}^4\text{He}}^3 \rho^2 N_A^2 \langle \alpha\alpha\alpha \rangle \quad (\text{эрг} \cdot \text{г}^{-1} \cdot \text{с}^{-1}).\end{aligned}$$

При $T \leq 2,8 \cdot 10^7$ К нерезонансный канал реакции ${}^8\text{Be}(\alpha, \gamma){}^{12}\text{C}$ становится важнее резонансного. Учет нерезонансной реакции сделан в [510]. Приближенно, с точностью $\sim 20\%$ ее учет сводится к умножению (14.38) и (14.39) на функцию

$$f_{\text{He}}(T) = \left\{ 0,01 + 0,2 \frac{1 + 4 \exp [-(0,025/T_9)^{3,263}]}{1 + 4 \exp [-(T_9/0,025)^{9,227}]} \right\}^{-1}. \quad (14.40)$$

Скорость реакции ${}^{12}\text{C}(\alpha, \gamma){}^{16}\text{O}$ сравнима со скоростью 3α -реакции так, что при горении гелия образуется ${}^{12}\text{C}$ и ${}^{16}\text{O}$. Их относительное производство зависит от условий, при которых идет реакция, и меняется с массой звезды. При увеличении массы производство ${}^{16}\text{O}$ растет и может стать больше ${}^{12}\text{C}$ (см. гл. 9). Имеем для реакции ${}^{12}\text{C}(\alpha, \gamma){}^{16}\text{O}$ [361]

$$\begin{aligned}N_A \langle {}^{12}\text{C}\alpha \rangle &= \left\{ 9,03 \cdot 10^7 T_9^{-2} \frac{(1 + 0,621 T_9^{2/3})^2}{(1 + 0,047 T_9^{2/3})^2} \times \right. \\ &\times \exp \left[-\frac{32,120}{T_9^{1/3}} - \left(\frac{T_9}{5,863} \right)^2 \right] + 2,74 \cdot 10^7 T_9^{-2/3} \times \\ &\times \exp \left(-\frac{32,120}{T_9^{1/3}} \right) + 1,25 \cdot 10^3 T_9^{-3/2} \exp \left(-\frac{27,499}{T_9} \right) + \\ &\left. + 1,43 \cdot 10^{-2} T_9^5 \exp \left(-\frac{15,541}{T_9} \right) \right\} \quad (\text{см}^3 \cdot \text{с}^{-1} \cdot \text{г}^{-1}),\end{aligned} \quad (14.41)$$

$$Q_6 = 7,162,$$

$$\epsilon_{{}^{12}\text{C}\alpha} = 1,44 \cdot 10^{17} x_{{}^{12}\text{C}} x_{{}^4\text{He}} \rho N_A \langle {}^{12}\text{C}\alpha \rangle \quad (\text{эрг} \cdot \text{г}^{-1} \cdot \text{с}^{-1}).$$

Формулы (14.38)–(14.41) справедливы при $10^{-3} < T_9 < 10$ в отсутствие электронного экранирования. На стадиях эволюции, предшествующих

Таблица 16

Параметры (α, γ) реакций для формулы (14.32); Q_α — энергия на реакцию в МэВ, $T_{\text{обл}}$ — пределы применимости

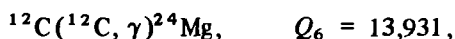
Реакция	TAU	A	B	C	D		$T_{\text{обл}}$
$^{16}\text{O}(\alpha, \gamma)^{20}\text{Ne}$	39,76 42,63	41,17 49,51	-8,856 (-3) 2,217 (-1)	7,048 (-2) -1,750 (-2)	2,521 (-2) 6,622 (-4)	4,731 4,731	$0 < T_\alpha < 1$ $1 < T_\alpha < 10$
$^{20}\text{Ne}(\alpha, \gamma)^{24}\text{Mg}$	46,77 48,75	44,38 49,62	2,482 (-2) 1,087 (-1)	-2,855 (-2) -2,975 (-3)	3,987 (-2) -2,077 (-5)	9,315 9,315	$0 < T_\alpha < 1$ $1 < T_\alpha < 10$
$^{24}\text{Mg}(\alpha, \gamma)^{28}\text{Si}$	53,32 54,77	47,06 50,89	1,344 (-2) 6,885 (-2)	1,954 (-3) 3,133 (-3)	7,228 (-3) -3,459 (-4)	9,986 9,986	$1 < T_\alpha < 1$ $1 < T_\alpha < 10$
$^{28}\text{Si}(\alpha, \gamma)^{32}\text{S}$	59,49 61,02	49,60 53,60	1,270 (-2) 6,340 (-2)	4,133 (-3) 2,541 (-3)	2,791 (-3) -2,900 (-4)	6,949 6,969	$0 < T_\alpha < 1$ $1 < T_\alpha < 10$
$^{32}\text{S}(\alpha, \gamma)^{36}\text{Ar}$	65,37 66,69	52,09 55,41	1,821 (-2) 4,913 (-2)	-5,033 (-3) 4,637 (-3)	5,584 (-3) -4,067 (-4)	6,642 6,642	$0 < T_\alpha < 1$ $1 < T_\alpha < 10$
$^{36}\text{Ar}(\alpha, \gamma)^{40}\text{Ca}$	71,01 78,27	54,48 70,11	2,676 (-2) 1,458 (-1)	-3,300 (-2) -1,069 (-2)	3,361 (-2) 3,790 (-4)	7,041 7,041	$0 < T_\alpha < 1$ $1 < T_\alpha < 10$
$^{40}\text{Ca}(\alpha, \gamma)^{44}\text{Ti}$	76,44	56,80	1,650 (-2)	5,973 (-3)	-3,889 (-4)	5,128	$0 < T_\alpha < 10$
$^{44}\text{Ti}(\alpha, \gamma)^{48}\text{Cr}$	81,66 81,23	56,98 60,18	-8,364 (-2) 1,066 (-1)	2,085 (-1) -1,102 (-2)	-7,477 (-2) 5,324 (-4)	7,694 7,694	$0 < T_\alpha < 1$ $1 < T_\alpha < 10$
$^{48}\text{Cr}(\alpha, \gamma)^{52}\text{Fe}$	86,74 81,42	62,93 53,00	1,212 (-1) 6,325 (-2)	-1,340 (-2) -5,671 (-3)	-5,335 (-4) 2,848 (-4)	7,943 7,943	$0 < T_\alpha < 1$ $1 < T_\alpha < 10$
$^{52}\text{Fe}(\alpha, \gamma)^{56}\text{Ni}$	91,67	62,22	7,846 (-2)	-7,430 (-3)	3,723 (-4)	8,001	$0 < T_\alpha < 10$
$^{56}\text{Ni}(\alpha, \gamma)^{60}\text{Zn}$	96,48 104,92	64,42 79,65	1,549 (-2) 8,188 (-2)	-4,664 (-3) -2,885 (-3)	4,888 (-3) 5,206 (-5)	2,704 2,704	$0 < T_\alpha < 1$ $1 < T_\alpha < 10$

взрыву сверхновой [363], а также при взрывном горении гелия важны другие реакции (α , γ) захвата. Если величины $N_A \langle 01 \rangle$ записать в виде (14.32), то коэффициенты для некоторых реакций из [638] приведены в табл. 16. В [399, 638] приведены параметры различных (α , γ), (α , n) и (α , p), а также обратных к ним реакций, участвующих во взрывном горении гелия.

§ 15. Реакции с тяжелыми ядрами при высоких температурах

На поздних стадиях эволюции массивных звезд, а также при взрывах ведущих к вспышке сверхновой, в центральных областях звезды происходят реакции непосредственного слияния тяжелых ядер. Энерговыделение в реакциях горения ^{12}C , ^{16}O , ^{20}Ne , ^{24}Mg и ^{28}Si сравнимо с энерговыделением в 3α реакции, однако мощное нейтринное излучение из-за высокой температуры делает время жизни звезды на стадии горения ^{12}C или ^{16}O много меньшим, чем на стадии горения ^4He . В связи с малым временем жизни вероятность обнаружения таких звезд также мала. В настоящее время нельзя с уверенностью указать на звезду в спокойном состоянии, излучающую энергию за счет горения ^{12}C или других тяжелых элементов.

В тех случаях, когда пренебрежимо экранирование кулоновского поля ядер, скорости реакций рассчитываются на основе учета резонансных и нерезонансных вкладов, согласно изложению § 13. В [361] приведены соотношения для следующих реакций:



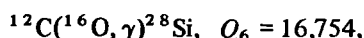
$$\begin{aligned} N_A \langle ^{12}\text{C}^{12}\text{C} \rangle &= \left\{ 1,26 \cdot 10^{27} T_{9A}^{5/6} T_9^{-3/2} \exp\left(-\frac{84,165}{T_{9A}^{1/3}}\right) \times \right. \\ &\times \left. [\exp(-0,010 T_{9A}^4) + 5,56 \cdot 10^{-3} \exp(1,685 T_{9A}^{2/3})]^{-1} \right\} (\text{см}^3 \cdot \text{с}^{-1} \cdot \text{г}^{-1}). \end{aligned} \quad (15.1)$$

$$T_{9A} = T_9 (1 + 0,067 T_9)^{-1}.$$

Скорость энерговыделения есть

$$\epsilon_{^{12}\text{C}^{12}\text{C}} = 4,67 \cdot 10^{16} x_{^{12}\text{C}}^2 \rho N_A \langle ^{12}\text{C}^{12}\text{C} \rangle (\text{эр} \cdot \text{г}^{-1} \cdot \text{с}^{-1}). \quad (15.2)$$

Реакция



$$\begin{aligned} N_A \langle ^{12}\text{C}^{16}\text{O} \rangle &= 1,72 \cdot 10^{31} T_{9A}^{5/6} T_9^{-3/2} \exp\left(-\frac{106,594}{T_{9A}^{1/3}}\right) \times \\ &\times [\exp(-0,180 T_{9A}^2) + 1,06 \cdot 10^{-3} \exp(2,562 T_{9A}^{2/3})]^{-1} (\text{см}^3 \cdot \text{с}^{-1} \cdot \text{г}^{-1}), \\ T_{9A} &= T_9 (1 + 0,055 T_9)^{-1} \end{aligned} \quad (15.3)$$

дает энерговыделение

$$\epsilon_{^{12}\text{C}^{16}\text{O}} = 8,42 \cdot 10^6 x_{^{12}\text{C}} x_{^{16}\text{O}} \rho N_A \langle ^{12}\text{C}^{16}\text{O} \rangle (\text{эр} \cdot \text{г}^{-1} \cdot \text{с}^{-1}). \quad (15.4)$$